

بِسْمِ اللّٰهِ الرَّحْمٰنِ الرَّحِيْمِ



دانشگاه اصفهان

دانشکده فنی مهندسی

گروه مهندسی شیمی

## پایان نامه کارشناسی ارشد رشته مهندسی شیمی- صنایع پلیمری

ساخت و بررسی خواص فیزیکی پلی آنیلین

به عنوان حسگر شیمیایی گاز آمونیاک

استاد راهنما:

دکتر امیرحسین نوارچیان

استاد مشاور:

دکتر مهدی نیرومند

پژوهشگر:

زهراء حسن زاده

مهر ۱۳۹۱

## چکیده

تشخیص و شناسایی گازهای آلینده همواره موضوعی مهم و اساسی در صنایع و به ویژه صنایع پتروشیمی بوده است. خطرات ناشی از مواد شیمیایی و گازهای سمی سالانه موجب مسمومیت و حتی مرگ بسیاری از انسان‌ها، جانوران و گیاهان می‌شود. حسگرهای شیمیایی گاز بر پایه پلیمرهای رسانا با توجه به خواص ویژه‌ی آن‌ها در طی چند دهه‌ی اخیر رشد چشمگیری داشته است. ساخت آسان، مواد اولیه ارزان، پایداری مناسب و خواص حسگری و انتخاب‌پذیری این مواد باعث استقبال پژوهشگران و صنعتگران از حسگرهای پلیمری شده است.

در این تحقیق از پلی‌آنیلین که پلیمری رسانا است به عنوان حسگر گاز آمونیاک استفاده شده است. به علت وجود عوامل سنتزی تأثیرگذار بسیار، در خواص رسانشی و حسگری پلی‌آنیلین، پس از تحقیقات اولیه و مرور مقالات علمی از بین تمامی عوامل چهار عامل دما (صفر، ۲۰ و ۶۰ درجه سانتی‌گراد) و زمان واکنش (۱، ۲ و ۴ ساعت)، نسبت مولی مونومر به اکسیدکننده (۲، ۴ و ۶) و نوع اسید مصرفی (AMPS و HNO<sub>3</sub>.HCl) در محیط سنتز، به عنوان عوامل مهمتر انتخاب شده‌اند. پس از انتخاب عوامل و سطوح آن‌ها، با استفاده از طراحی آزمایش‌ها به روش تاگوچی نتایج و اثر این عوامل بر پاسخ‌هایی همچون میزان بازده واکنش، میزان رسانش لایه نازک پلیمری و میزان تغییرات رسانش لایه نازک پلیمر در حضور گاز آمونیاک مورد تحلیل قرار گرفت. نمونه‌ها از روش پلیمریزاسیون با هم زدن شدید سنتز شده‌اند.

نتایج نشان داد که تمام عوامل انتخابی بر میزان بازده موثر هستند و برای رسیدن به بیشینه بازده نیاز است تا از یک اسید قوی (HCl) در زمان پلیمریزاسیون بالا (۴ ساعت) و دمای کم (صفر درجه سانتی‌گراد) استفاده شود. همچنین غلظت بالای اکسیدکننده به مونومر به افزایش بازده کمک خواهد کرد. اگرچه طبق آنچه که سایر پژوهشگران هم گزارش کرده‌اند حتی در شرایط بهینه نیز بازده واکنش در تولید پلی‌آنیلین چندان بالا نیست.

از بین عوامل ذکر شده تنها عامل نسبت مونومر به اکسیدکننده عامل غیر مهم برای تأثیر گذاری بر خواص رسانشی بوده است و سایر عوامل تأثیر بسزایی در میزان رسانش نمونه‌ها داشته‌اند. بطوریکه با انتخاب یک اسید قوی (HCl) و یک زمان میانه (۲ ساعت) برای سنتز پلیمر و دمای بالای واکنش (۶۰°C) می‌توان به حداقل رسانش دست پیدا کرد.

در حضور گاز آمونیاک تنها عامل مهم برای تأثیر بر تغییرات رسانش (نسبت به حالتی که حسگر در تماس با هوا می‌باشد) نوع اسید بوده است که باعث انتخاب‌پذیری مناسب این پلیمر برای گاز آمونیاک نسبت به هوا می‌شود. پاسخ‌های بدست آمده در این پژوهش در مقایسه با نتایج حاصل از پژوهش‌های قبلی که در مراجع علمی گزارش شده است پاسخ‌های مناسب‌تری بوده‌اند.

همچنین در این پژوهش پلی‌آنیلین از روش پلیمریزاسیون بین سطحی سنتز شده و از کامپوزیت کردن پلی‌آنیلین و پلی‌(وینیل الکل)، لایه نازکی تهیه شده که برای بررسی تغییرات رسانش در برابر گاز دی‌اکسید کربن از آن استفاده شده است. نتایج نشان داده که این ترکیب پاسخ‌های مطلوبی در حضور این گاز از خود نشان نداده و لذا پلی‌آنیلین حسگر مناسبی برای این گاز به نظر نمی‌رسد.

نتایج میکروسکوپ الکترونی روبشی نشان داد، پلیمر تولیدی از هر دو روش (هم زدن شدید و پلیمریزاسیون بین سطحی) از لحاظ ریخت شناسی نانو صفحاتی با ضخامت کمتر از ۱۰۰ nm بوده‌اند.

**واژگان کلیدی:** پلیمرهای رسانا، حسگرهای شیمیایی گاز، پلی‌آنیلین، آمونیاک

## فهرست مطالب

صفحه	عنوان
	فصل اول: مقدمه
۲	۱-۱ حسگرهای شیمیایی گاز
۳	۲-۱ ساختار کلی حسگر شیمیایی گاز
۴	۳-۱ حسگرهای بر پایه اکسیدهای فلزی
۶	۴-۱ حسگرهای بر پایه پلیمرهای رسانا
۷	۵-۱ معرفی پلی آنیلین
۱۰	۶-۱ اهداف تحقیق
	فصل دوم: مروری بر مقالات قبلی
۱۲	۱-۲ سازوکار سنتز پلی آنیلین
۱۴	۲-۲ فرایند تقویت شوندگی اسیدی پلی آنیلین
۱۶	۳-۲ ساختار شیمیایی پلی آنیلین
۱۷	۴-۲ روش‌های سنتز پلی آنیلین و نانوالیاف پلی آنیلین
۱۸	۱-۴-۲ پلیمریزاسیون شیمیایی
۲۱	۲-۴-۲ سنتز الکتروشیمیایی
۲۴	۳-۴-۲ پلیمریزاسیون امولسیونی
۲۷	۴-۴-۲ پلیمریزاسیون با هم زدن سریع
۲۸	۵-۴-۲ پلیمریزاسیون در سطح مشترک
۳۰	۶-۴-۲ پلیمریزاسیون فرا صوتی
۳۰	۷-۴-۲ پلیمریزاسیون بذری
۳۱	۵-۲ عوامل موثر بر خواص حسگری و رسانشی پلی آنیلین
۳۱	۱-۵-۲ بلورینگی
۳۲	۲-۵-۲ دما

صفحه	عنوان
۳۲	۱-۲-۵-۲ دمای واکنش
۳۴	۲-۲-۵-۲ دمای عملیاتی
۳۵	۳-۵-۲ غلظت و نوع مونومر
۳۶	۴-۵-۲ سطح اکسیداسیون
۳۶	۵-۵-۲ ضخامت لایه نازک
۳۷	۶-۵-۲ ریخت شناسی
۴۱	۷-۵-۲ اسید تقویت کننده
۴۵	۸-۵-۲ اثر رطوبت
۴۷	۹-۵-۲ خواص مکانیکی
۵۰	۱۰-۵-۲ اثر کامپوزیت کردن
۵۳	۱۱-۵-۲ اثر افزودن خاک رس
۵۴	۶-۲ روش‌های تهیه لایه نازک پلی آنیلین
۵۵	۱-۶-۲ پوشش‌دهی چرخشی
۵۶	۲-۶-۲ الکتروشیمیایی
۵۶	۳-۶-۲ پوشش‌دهی غوطه‌وری
۵۷	۴-۶-۲ پوشش‌دهی قطره‌ای
۵۷	۵-۶-۲ پوشش‌دهی تبخیر گرمایی

### فصل سوم: مواد و روش‌ها

۶۰	۱-۳ مواد مصرفی
۶۱	۲-۳ وسایل و تجهیزات
۶۲	۳-۳ ساخت سامانه‌ی شناسایی گاز آمونیاک
۶۲	۱-۳-۳ طراحی آزمایش‌ها برای سنتز پلی آنیلین به عنوان حسگر گاز آمونیاک
۶۴	۲-۳-۳ سنتز پلی آنیلین به روش پلیمریزاسیون با هم زدن شدید

عنوان	
صفحه	
۶۴	۳-۳-۳ تهیه شکل EB از شکل ES
۶۵	۴-۳-۳ تهیه لایه نازک پلی آنیلین
۶۵	۵-۳-۳ سامانه‌ی اندازه‌گیری تغییرات رسانش در حضور گاز آمونیاک
۶۷	۴-۳ ساخت سامانه‌ی شناسایی گاز دی اکسید کربن
۶۸	۱-۴-۳ سنتز پلی آنیلین به روش پلیمریزاسیون بین سطحی به عنوان حسگر دی اکسید کربن
۶۹	۲-۴-۳ تهیه لایه نازک آلیاژی پلی آنیلین - پلی (وینیل الکل) (PANI-PVA)
۶۹	۳-۴-۳ سامانه‌ی اندازه‌گیری تغییرات رسانش در حضور گاز $\text{CO}_2$
۷۱	۴-۴-۳ ایجاد رطوبت در گاز
۷۲	۵-۴-۳ سامانه‌ی اندازه‌گیری تغییرات رسانش در حضور گاز دی اکسید کربن
۷۳	۳-۴ محاسبه رسانش ویژه
۷۴	۳-۴-۳ اندازه‌گیری بازده
۷۴	۳-۴-۳ آزمون‌های دستگاهی
۷۴	۱-۷-۳ طیف سنجی مادون قرمز تبدیل فوریه FTIR
۷۴	۲-۷-۳ میکروسکوپ الکترونی روبشی (SEM)

#### فصل چهارم: نتایج و بحث

۷۵	۴-۱ بررسی پلی آنیلین به عنوان حسگر گاز آمونیاک
۷۵	۴-۱-۱ بررسی ساختار پلی آنیلین سنتز شده به روش همزدن سریع
۷۷	۴-۱-۲ ریخت شناسی نمونه‌های پلی آنیلین
۷۹	۴-۱-۳ بررسی میزان بازده در نمونه‌های پلی آنیلین
۸۳	۴-۱-۴ میزان رسانش ویژه در لایه‌های نازک پلی آنیلینی در هوا
۸۷	۴-۱-۵ تغییرات رسانش لایه نازک پلی آنیلین در حضور گاز آمونیاک
۹۶	۴-۲ بررسی عملکرد پلی آنیلین به عنوان حسگر گاز دی اکسید کربن
۹۶	۴-۲-۱ بررسی ساختار پلی آنیلین سنتز شده به روش پلیمریزاسیون بین سطحی

عنوان	
صفحه	
۹۸.....۲-۲-۴ ریخت شناسی پلی آئیلین سنتز شده به روش پلیمریزاسیون بین سطحی	
۹۸.....۳-۲-۴ تغییرات رسانش لایه نازک پلی آئیلین در حضور گاز دی اکسید کربن	
	<b>فصل پنجم: نتیجه‌گیری و پیشنهادها</b>
۱۰۵.....۱-۵ نتیجه گیری	
۱۰۶.....۲-۵ پیشنهادها	
۱۰۷	<b>منابع و مأخذ</b>

## فهرست شکل‌ها

عنوان	صفحه
شکل ۱-۱ یک سامانه آزمایشگاهی حسگر شیمیابی گاز.....	۳
شکل ۱-۲ حسگر اکسید فلزی در حضور گاز .....	۵
شکل ۱-۳ شمایی از ساختار نیمه بلوری پلی آنیلین.....	۷
شکل ۱-۴ ساختار مولکولی پلی آنیلین.....	۸
شکل ۱-۵ مقایسه سازوکار رسانش در فلزات و پلی آنیلین.....	۹
شکل ۲-۱ تشكیل رادیکال پلی آنیلین از طریق اکسیداسیون.....	۱۳
شکل ۲-۲ رادیکال‌های مختلف پلی آنیلین (شکل میانی پایدارترین حالت را نشان می‌دهد).....	۱۳
شکل ۲-۳ سازوکار تشكیل دیمر در پلیمریزاسیون آنیلین.....	۱۳
شکل ۲-۴ سازوکار تشكیل کاتیون دیمر در پلیمریزاسیون آنیلین.....	۱۴
شکل ۲-۵ سازوکار پلیمریزاسیون رادیکالی در پلیمریزاسیون آبیلین.....	۱۴
شکل ۲-۶ سازوکار تقویت یافته‌گی اسیدی پلی آنیلین.....	۱۵
شکل ۲-۷ طیف مادون قرمز تبدیل فوریه برای پلی آنیلین.....	۱۷
شکل ۲-۸ روند تشكیل پلی آنیلین.....	۲۰
شکل ۲-۹ تصاویر TEM از ساختار پلی آنیلین در طول پلیمریزاسیون شیمیابی.....	۲۱
شکل ۲-۱۰ سامانه‌ی پلیمریزاسیون الکتروشیمیابی.....	۲۲
شکل ۲-۱۱ کنترل ساختار پلی آنیلین با استفاده از قطرات و کanal‌ها.....	۲۶
شکل ۲-۱۲ مراحل سنتز نانوالیاف پلی آنیلین به روش هم زدن سریع.....	۲۷
شکل ۲-۱۳ مراحل ساخت نانو الیافی پلی آنیلین به روش پلیمریزاسیون بین سطحی.....	۲۹
شکل ۲-۱۴ واکنش‌های جانبی در سنتز پلی آنیلین در دمای بالا.....	۳۲
شکل ۲-۱۵ پلیمریزاسیون آنیلین به روش هم زدن شدید، A : در دمای $60^{\circ}\text{C}$ ، B : در دمای $0^{\circ}\text{C}$ .....	۳۳
شکل ۲-۱۶ اثر دما بر میزان لگاریتم رسانش در عدم حضور گاز در پلی آنیلین.....	۳۴
شکل ۲-۱۷ اثر ضخامت لایه نازک پلی آنیلین.....	۳۷

عنوان	
صفحه	
شکل ۱۸-۲ سازو کار تشکیل نانوساختارهای پلی آنیلین.....	۳۹
شکل ۱۹-۲ تبدیل نانو صفحات پلی آنیلین به نانولوله های پلی آنیلین.....	۴۰
شکل ۲۰-۲ فرایند خود تقویت یافتگی پلی آنیلین.....	۴۵
شکل ۲۱-۲ تغییرات مقاومت الکتریکی لایه نازک پلی آنیلین در حضور رطوبت.....	۴۶
شکل ۲۲-۲ تأثیر رطوبت بر رسانش در $C^{50}$ در حضور گاز آمونیاک.....	۴۷
شکل ۲۳-۲ نمودار کشش-کرنش لایه های نازک ترکیبی پلی آنیلین و نانو لوله های کربن.....	۴۹
شکل ۲۴-۲ شمایی از پلیمریزاسیون بین سطحی پلی آنیلین. لایه های بالایی یک فاز آبی است.....	۵۱
شکل ۲۵-۲ رسانش الکتریکی به صورت تابعی از غلظت وزنی نانو الیافی PANI در PSS.....	۵۲
شکل ۲۶-۲ تغییرات رسانش ترکیب PANI-DBSA و PAN-DBSA/clay.....	۵۳
شکل ۲۷-۲ رفتار حرارتی خاک رس، پلی آنیلین و ترکیب خاک رس-پلی آنیلین با TGA.....	۵۴
شکل ۲۸-۲ پوشش دهی چرخشی.....	۵۶
شکل ۲۹-۲ پوشش دهی غوطه وری.....	۵۷
شکل ۳۰-۲ پوشش دهی تبخیر گرمایی.....	۵۸
شکل ۱-۳ مراحل کارهای آزمایشگاهی انجام شده.....	۶۰
شکل ۲-۳ شمایی از روش پلیمریزاسیون با همزدن شدید استفاده شده در سنتر پلی آنیلین.....	۶۵
شکل ۳-۳ (الف) سامانه اندازه گیری تغییرات رسانش در حضور گاز آمونیاک (ب) لایه نازک.....	۶۶
شکل ۴-۳ شمایی از روش پلیمریزاسیون بین سطحی استفاده شده برای سنتر پلی آنیلین در دمای .....	۶۹
شکل ۵-۳ محفظه حاوی لوله عبوری نیتروژن و اتمسفر دی اکسید کربن.....	۷۰
شکل ۶-۳ اریفیس طراحی شده در مسیر عبور نیتروژن برای مکش دی اکسید کربن.....	۷۱
شکل ۷-۳ سامانه اندازه گیری تغییرات رسانش در حضور گاز دی اکسید کربن.....	۷۲
شکل ۱-۴ طیف FTIR مربوط به پلی آنیلین سنتز شده به روش هم زدن شدید (تقویت شده).....	۷۶
شکل ۲-۴ طیف FTIR مربوط به پلی آنیلین سنتز شده به روش هم زدن شدید (تقویت زدایی شده) ..	۷۶
شکل ۳-۴ تصویر میکروسکوپ الکترونی رو بشی از پلی آنیلین تهیه شده به روش هم زدن سریع.....	۷۸
شکل ۴-۴ نمودار اثر زمان واکنش بر میزان بازده واکنش.....	۸۱

عنوان	
صفحه	
شکل ۴-۵ نمودار اثر نوع اسید مصرفی در واکنش بر میزان بازده واکنش	۸۲
شکل ۴-۶ نمودار اثر مقدار نسبت مولی مونومر به اکسیدکننده بر میزان بازده واکنش	۸۲
شکل ۴-۷ نمودار اثر دمای واکنش بر میزان بازده واکنش	۸۳
شکل ۴-۸ اثر زمان واکنش بر تغییرات رسانش لایه نازک پلی آنیلین در حضور گاز آمونیاک	۸۵
شکل ۴-۹ اثر نوع اسید بر تغییرات رسانش لایه نازک پلی آنیلین در حضور گاز آمونیاک	۸۶
شکل ۴-۱۰ اثر دمای واکنش بر تغییرات رسانش لایه نازک پلی آنیلین در حضور گاز آمونیاک	۸۶
شکل ۴-۱۱ نمودار تغییرات رسانش با زمان در غلظت ۳۰۰ ppm از گاز آمونیاک برای نمونه ۱	۸۷
شکل ۴-۱۲ نمودار تغییرات $\Delta I$ بر حسب غلظت گاز آمونیاک برای نمونه ۱	۸۸
شکل ۴-۱۳ نمودار تغییرات $\Delta I$ بر حسب غلظت گاز آمونیاک برای نمونه ۲	۸۹
شکل ۴-۱۴ نمودار تغییرات $\Delta I$ بر حسب غلظت گاز آمونیاک برای نمونه ۳	۸۹
شکل ۴-۱۵ نمودار تغییرات $\Delta I$ بر حسب غلظت گاز آمونیاک برای نمونه ۴	۸۹
شکل ۴-۱۶ نمودار تغییرات $\Delta I$ بر حسب غلظت گاز آمونیاک برای نمونه ۵	۹۰
شکل ۴-۱۷ نمودار تغییرات $\Delta I$ بر حسب غلظت برای نمونه ۶	۹۰
شکل ۴-۱۸ نمودار تغییرات $\Delta I$ بر حسب غلظت گاز آمونیاک برای نمونه ۷	۹۰
شکل ۴-۱۹ نمودار تغییرات $\Delta I$ بر حسب غلظت گاز آمونیاک برای نمونه ۸	۹۱
شکل ۴-۲۰ نمودار تغییرات $\Delta I$ بر حسب غلظت گاز آمونیاک برای نمونه ۹	۹۱
شکل ۴-۲۱ نمودار مقایسه تغییرات $\Delta I$ بر حسب غلظت برای تمامی نمونه‌ها	۹۲
شکل ۴-۲۲ تأثیر نوع اسید مصرفی بر تغییرات رسانش لایه نازک پلی آنیلین در حضور گاز آمونیاک	۹۵
شکل ۴-۲۳ طیف FTIR مربوط به پلی آنیلین سنتز شده به روش پلیمریزاسیون بین سطحی	۹۷
شکل ۴-۲۴ طیف FTIR مربوط به پلی آنیلین سنتز شده به روش پلیمریزاسیون بین سطحی	۹۷
شکل ۴-۲۵ تصویر میکروسکوپ الکترونی از پلی آنیلین تهیه شده به روش پلیمریزاسیون	۹۸

## فهرست جداول

صفحه	عنوان
۶	جدول ۱-۱ مقایسه‌ی خواص چند پلیمر رسانا
۸	جدول ۲-۱ شکل‌های مختلف پلی‌آنیلین با درجات اکسیداسیون متفاوت
۱۶	جدول ۱-۲ پیوندهای جذبی مشخصه ساختاری در طیف سنجی FTIR پلی‌آنیلین
۲۳	جدول ۲-۲ مقایسه رسانش و بازدهی لایه نازک پلی‌آنیلین تولید شده در انواع الکتروولیت
۲۶	جدول ۲-۳ پلیمریزاسیون امولسیونی معکوس آب در روغن برای ساخت نانو دانه پلی‌آنیلین
۲۷	جدول ۲-۴ پلیمریزاسیون امولسیونی مستقیم برای تولید نانوالیاف پلی‌آنیلین
۳۳	جدول ۲-۵ اثرات دمای واکنش بر خواص پلی‌آنیلین
۳۵	جدول ۲-۶ اثر نوع مونومر در رسانش پلی‌آنیلین
۳۶	جدول ۲-۷ اثر نوع مونومر بر پایداری حرارتی پلی‌آنیلین
۳۹	جدول ۲-۸ اثر نسبت مولی تقویت کننده به مونومر در ریخت‌شناسی و سایز ذرات
۴۲	جدول ۲-۹ اثر نوع تقویت کننده و روش تقویت کنندگی در رسانش و فرایند پذیری پلی‌آنیلین
۴۳	جدول ۲-۱۰ اثر نوع اسید تقویت کننده غیر آلی بر خواص پلی‌آنیلین
۴۴	جدول ۲-۱۱-۲ اثر میزان ولتاژ بر رسانش نمک‌های مختلف پلی‌آنیلین
۴۵	جدول ۲-۱۲-۲ اثر نوع مونومر بر زمان واکنش بر پلی‌آنیلین خود تقویت یافته
۴۵	جدول ۲-۱۳-۲ رفتار الکتروشیمیایی و رسانش لایه نازک پلی‌آنیلین خود تقویت شده در دمای اتاق
۴۸	جدول ۲-۱۴-۲ تأثیر غلظت آنیلین در محلول پلیمریزاسیون
۴۹	جدول ۲-۱۵-۲ تأثیر غوطه‌ور کردن پلی‌آنیلین در حللاهای آلی بر خواص مکانیکی
۵۰	جدول ۲-۱۶-۲ تغییرات خواص الیافی پلی‌آنیلین تحت کشش در دمای $363K$ در طول زمان
۵۵	جدول ۲-۱۷-۲ رسانش لایه نازک پلی‌آنیلین بهبود نیافته با توجه به روش تهیه لایه نازک
۵۵	جدول ۲-۱۸-۲ حساسیت پلی‌آنیلین به گازهای مختلف با روش‌های متفاوت تهیه لایه نازک
۶۱	جدول ۱-۳ مواد شیمیایی مورد استفاده

عنوان	
صفحه	
جدول ۲-۳ عوامل و سطوح در طراحی آزمایش‌های سنتز پلی‌آنیلین برای گاز آمونیاک.....	۶۳
جدول ۳-۳ طراحی آزمایش‌ها برای سنتز پلی‌آنیلین در حسگر گاز آمونیاک.....	۶۳
جدول ۱-۴ نتایج طیف‌ها FTIR برای نمونه‌های پلی‌آنیلین.....	۷۷
جدول ۲-۴ میزان بازده در نمونه‌های پلی‌آنیلین.....	۷۹
جدول ۳-۴ تحلیل واریانس برای بررسی تأثیر عوامل سنتزی بر میزان بازده تولید پلی‌آنیلین.....	۸۰
جدول ۴-۴ شرایط بهینه برای رسیدن به بیشینه بازده پلی‌آنیلین.....	۸۰
جدول ۴-۵ میزان رسانش در لایه‌های نازک پلی‌آنیلین.....	۸۳
جدول ۴-۶ تحلیل واریانس برای بررسی تأثیر عوامل سنتزی بر میزان رسانش.....	۸۴
جدول ۴-۷ شرایط بهینه برای بیشینه سازی رسانش در لایه نازک پلی‌آنیلین.....	۸۴
جدول ۴-۸ تحلیل واریانس برای بررسی تأثیر عوامل سنتزی بر میزان خاصیت حسگری.....	۹۳
جدول ۴-۹ تحلیل واریانس برای بررسی تأثیر عوامل سنتزی بر میزان خاصیت حسگری.....	۹۴
جدول ۴-۱۰ شرایط بهینه برای رسیدن به بیشترین رسانش در لایه نازک پلی‌آنیلین در غلظت.....	۹۴
جدول ۴-۱۱ شرایط بهینه برای رسیدن به بیشترین رسانش در لایه نازک پلی‌آنیلین در غلظت.....	۹۵
جدول ۴-۱۲ مقایسه حساسیت در نمونه‌های لایه نازک پلی‌آنیلین.....	۹۶
جدول ۱۳-۴ نتایج طیف‌ها FTIR برای نمونه‌های پلی‌آنیلین.....	۹۷
جدول ۱۴-۴ تأثیر تقویت‌شدگی (با HCl) و تقویت زدایی بر روی عملکرد لایه نازک پلی‌آنیلین.....	۹۹
جدول ۱۵-۴ تأثیر تقویت‌شدگی (با AMPS) و تقویت زدایی بر روی عملکرد لایه نازک پلی‌آنیلین..	۱۰۰
جدول ۱۶-۴ تأثیر نوع حلال مصرفی در تولید لایه نازک پلی‌آنیلین به عنوان حسگر گاز CO <sub>2</sub>	۱۰۲

## فصل اول

### مقدمه

با پیشرفت علم در دنیا و پیدایش تجهیزات الکترونیکی و تحولات عظیمی که در چند دهه‌ی اخیر و در خلال قرن بیستم به وقوع پیوست، نیاز به ساخت حسگرهای دقیق‌تر، کوچک‌تر و دارای قابلیت‌های بیشتر احساس شد. امروزه از حسگرهایی با حساسیت بالا استفاده می‌شود به طوری که در برابر مقادیر ناچیزی از گاز، گرما و یا تشعشع حساسند. بالا بردن درجه‌ی حساسیت، بهره و دقت این حسگرها به کشف مواد و ابزارهای جدید نیاز دارد. در اوخر دهه ۱۹۷۰ دسته‌ای جدید از پلیمرها کشف شد که هادی الکتریسیته بودند. رسانایی الکتریکی به دلیل شکل ساختمانی خاص این گونه پلیمرها است که وقی به حالت خاصی از اکسیداسیون در می‌آیند به بارهای الکتریکی اجازه می‌دهند در طول زنجیر پلیمری انتقال یابند. این پلیمرها همچنین قابلیت تحریک به وسیله‌ی بار را نیز دارند و می‌توانند با اعمال کمی انرژی به حالت‌های مختلفی در آیند. چنین پلیمرهای سبکی می‌توانند جایگزین فلزات هادی در سامانه‌های ارتباطی و توسعه ابزارهای الکترونیکی مانند دیودها، کلیدها شوند.

## ۱-۱ حسگرهای شیمیایی گاز

حسگر دستگاهی است که مقدار یک کمیت فیزیکی را اندازه گیری کرده و آن را به یک پیام<sup>۱</sup> قابل تشخیص توسط یک نمایشگر تبدیل می کند (Bhadra, et al. 2009). حسگرهای شیمیایی و حسگرهای زیستی از جالب ترین شاخه های شیمی تجزیه مدرن هستند. این موضوع را می توان از روی حجم مطالعات انجام گرفته و همچنین نوع روش های بکار گرفته شده در این زمینه طی سال های اخیر نتیجه گرفت. این امر خصوصاً به خاطر نیازهای جدیدی است که در تشخیص های طبی، شناسایی گازهای حاصل از تجزیه های محیطی، تجزیه مواد غذایی و نظارت بر تولید برخی فرآورده های نفتی به وجود آمده است. به عنوان نمونه حسگرها می توانند در تشخیص داروهای غیر مجاز که حاوی مواد مضر هستند و یا مواد سمی و مواد شیمیایی و خطرناک استفاده شده در جنگ های شیمیایی مورد استفاده قرار گیرند.

قسمت اصلی یک حسگر شیمیایی عنصر حسگر (شناسآگر) آن است که در حضور گاز مورد بررسی دچار تغییر خاصیت می شود. حسگرهای گازی بر اساس کارکردشان به دو دسته‌ی آشکارساز وجود گاز و تشخیص دهنده‌ی نوع گاز تقسیم می شوند. دسته‌ی اول صرفاً وجود گاز را احساس می کنند و در مورد ماهیت آن اطلاعی نمی دهند. دسته دوم علاوه بر احساس گاز، نوع و تراکم آن را نیز مشخص می کنند. در حال حاضر، کامل ترین دستگاههای تشخیص گاز رنگ سنج ها<sup>۲</sup> هستند که دستگاههایی حجم و گران قیمتند و به کار گیری آنها به کاربرانی مجبوب و کار آزموده نیاز دارند. زمان تشخیص گاز توسط این سامانه ها طولانی بوده و در حدود چند دقیقه است. اساساً کلیه حسگرهای گاز موجود به جز حسگرهای حالت جامد، پیچیده، گران، حجم و سنگین هستند و به کار گیری آنها در بسیاری از موارد مقرن به صرفه نیست.

حسگرهای موجود در بازار برای شناسایی گازها غالباً مواد نیمه رسانایی هستند که با توجه به میزان غلاظت ماده‌ی حس شونده، مقاومت آنها تغییر می کند. این حسگرها معمولاً اکسیدهای فلزی همچون دی اکسید قلع<sup>۳</sup> و تری اکسید ایندیوم<sup>۴</sup> هستند که در زمرة مواد عالی از نقطه نظر تشخیص گاز هستند.

به طور کلی یک حسگر ایده آل باید خصوصیات زیر را داشته باشد:

۱. پیام خروجی باید متناسب با نوع و میزان جزء شناسایی شونده مورد نظر باشد.

<sup>1</sup>Signal

<sup>2</sup>Chromatographs

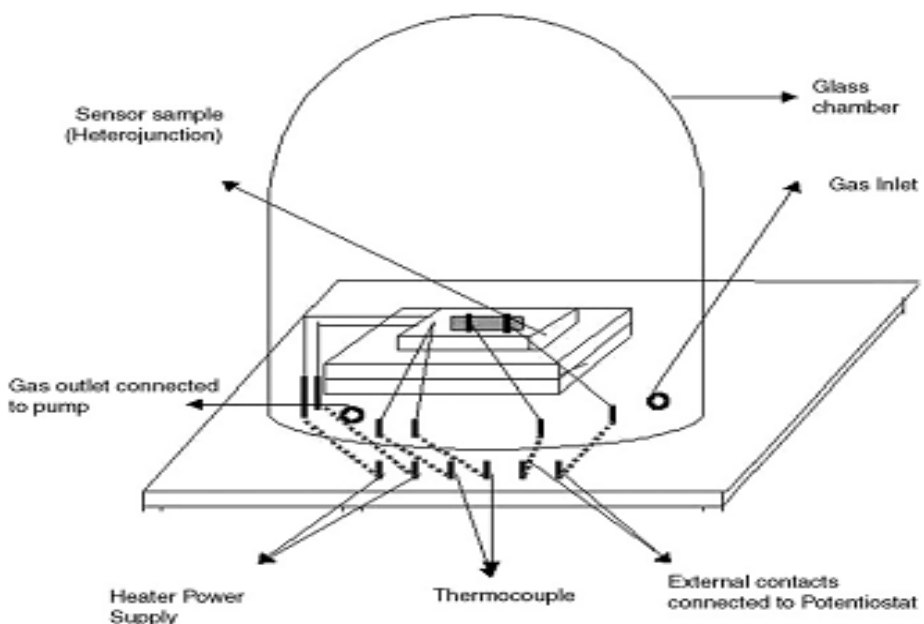
<sup>3</sup>SnO<sub>2</sub>

<sup>4</sup>In<sub>2</sub>O<sub>3</sub>

۲. نسبت به ماده مورد بررسی انتخاب پذیری داشته باشد.
۳. آستانه<sup>۱</sup> تشخیص مناسب داشته باشد.
۴. تکرار پذیری و صحت بالایی در اندازه گیری داشته باشد.
۵. سرعت پاسخ دهی سریعی داشته باشد.
۶. عدم پاسخ دهی به عوامل مزاحم محیطی نظیر دما، محیط شیمیایی، pH و قدرت یونی محیط.

## ۱-۲ ساختار کلی حسگر شیمیایی گاز

شمایی ساده از یک سامانه آزمایشگاهی حسگر شیمیایی گاز را می‌توان در شکل ۱-۱ مشاهده کرد. همان‌طور که از شکل مشخص است عنصر حسگر به عنوان جزئی از یک مدار الکتریکی و در داخل یک محفظه بسته‌ی شفاف، شامل یک ورودی و خروجی برای گاز مورد بررسی قرار می‌گیرد، بسته بودن محیط به منظور حذف اثرات احتمالی ناشی از هوا، گازهای محیطی و رطوبت است. با توجه به احتمال اثر گذاری دما بر خاصیت حسگری عنصر حسگر، از گرمکن و ترموموکوپل برای ثبیت دما در محفظه استفاده شده است.



شکل ۱-۱ یک سامانه آزمایشگاهی حسگر شیمیایی گاز (Joshi, Lokhande and Han 2007)

<sup>۱</sup>Threshold

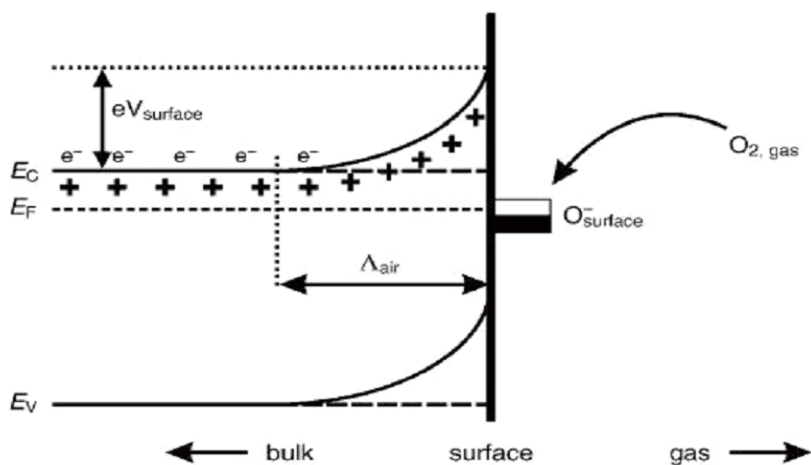
با ورود گاز به محفظه و پخش مناسب آن در فضای محفظه، عنصر شناساگر در اثر برهmekش با گاز، دچار تغییر در خواص فیزیکی و شیمیایی می‌شود. تغییرات شیمیایی انجام شده در اثر حضور گاز مورد بررسی غالباً باعث ایجاد تغییر در خواصی از جمله رنگ، اندازه و یا رسانش در عنصر حسگر می‌شود، این تغییرات که ممکن است در اثر کمیت‌های فیزیکی مانند فشار، حرارت، رطوبت، دما و یا در اثر وجود گازهای شیمیایی باشد را به کمیت‌های الکتریکی تبدیل می‌کند. در واقع حسگر یک وسیله الکتریکی است که تغییرات فیزیکی یا شیمیایی را اندازه گیری می‌کند و آن را به پیام الکتریکی تبدیل می‌نماید که از طریق یک صفحه‌ی نمایش به تصویر کشیده می‌شود.

### ۱-۳- حسگرهای بر پایه اکسیدهای فلزی

پژوهشگران در اوایل سال‌های ۱۹۵۹ دریافتند که تغییر در ترکیب گازهای اطراف نیمه‌هادی می‌تواند در هدایت الکتریکی آن‌ها تأثیر بگذارد. در آن زمان این اثر را در مورد ژرمانیوم تک کریستال بررسی کردند و آن را برای گازهای مختلف اندازه گیری کردند و دریافتند که ژرمانیوم حساسیت کمتری نسبت به گازهای محیط دارد. این بحث تحقیقات وسیعی را طلب می‌کرد و به دنبال آن نیمه‌هادی‌های مختلف برای حسگرها پیشنهاد شد. به دلیل مشکلات اندازه گیری حساسیت در حسگرهای ساخته شده با این نیمه‌هادی‌ها، دانشمندان به این نتیجه رسیدند که دمای کار حسگر را بالا برده و در دمایی بالاتر از دمای اتاق شرایط کار را برای حسگر فراهم کنند. با بالا بردن دمای سطح حسگرهای گازی، حساسیت الکتریکی آن‌ها نسبت به گازها افزایش پیدا کرد و به دنبال آن مشکلات دیگری از جمله اکسید شدن سطح نیمه‌هادی پدیدار شد. با بروز این مشکل نیمه‌هادی‌های دیگری شناسایی شدند که نیمه‌هادی‌های اکسیدی در الویت آن‌ها بودند. از جمله این نیمه‌هادی‌های اکسیدی می‌توان  $\text{WO}_3$ ,  $\text{SnO}_2$ ,  $\text{In}_2\text{O}_3$ ,  $\text{V}_2\text{O}_5$ ,  $\text{MgCr}_2\text{O}_4$ ,  $\text{TiO}_2$  و آشکار سازی نشتی آمونیاک در یخچال و نشتی گاز خانگی به کار می-رونند. این حسگرها تغییرات در سطح مقاومت را اندازه گیری می‌کنند.

عملکرد یک حسگر اکسید فلزی مانند  $\text{SnO}_2$  به این قرار است که اکسید فلزی در دمای بالا گرم می‌شود، اکسیژن روی سطح کریستال، با یک بار منفی به صورت سطحی جذب می‌شود. سپس الکترون‌های دهنده در سطح کریستال با اکسیژن جذب شده سطحی مبادله می‌شود، که منجر به ازدست رفتن بارهای مثبت در فضای لایه بار می‌شود. بنابراین پتانسیل سطحی برای فراهم کردن یک سد پتانسیل در خلاف شارش الکترون‌ها ایجاد می‌شود.

درون حسگر، در قسمت اتصال مرز ذرات میکروکربیستالهای  $\text{SnO}_2$ ، یک جریان الکتریکی شارش می‌یابد. در مرزهای ذرات، اکسیژن جذب شده سطحی، یک سد پتانسیل برای جلوگیری از حرکت آزادانه حاملهای بار به وجود می‌آورد. مقاومت الکتریکی حسگر نیز با این سد نسبت دارد. در صورت وجود یک گاز احیاء کننده چگالی سطحی اکسیژن باردار شده با بار منفی کاهش می‌یابد که منجر به کاهش ارتفاع سد پتانسیل در مرز ذرات می‌شود. کاهش ارتفاع سد نیز مقاومت حسگر را کاهش می‌دهد برای یک گاز اکسیدکننده افزایش مقاومت حسگر با افزایش ارتفاع سد پتانسیل اتفاق خواهد افتاد (شکل ۲-۱). (Wang, et al. 2010)



شکل ۲-۱ حسگر اکسید فلزی در حضور گاز (Wang, et al. 2010)

این حسگرهای سهولت ساخت و در نتیجه قیمت بسیار پایینی را به همراه خود دارند، از طرفی در این نوع حسگرهای نیاز به گرم شدن سطح اکسید فلزی است و مشکل اساسی در توان بالای گرمکن این حسگرهای است، بطوریکه به عنوان مثال برای تشخیص برخی گازها نیاز به تولید دمای بیش از ۲۵۰ درجه سانتی گراد توسط گرمکن است. در نتیجه در بهترین حالت طراحی و با حداقل هزینه، تلفات توان گرمکن باز هم بسیار قابل توجه خواهد بود. (Wang, et al. 2010)

استفاده از حسگرهای پلیمری به علت فرایندپذیری خوب برای اهداف حسگری، قیمت مناسب، انتخاب پذیری خوب و توانایی استفاده در دمای محیط بسیار مورد استقبال قرار گرفته است (Bhadra, et al. 2009, Debarnot and Epaillard 2003)

## ۴-۱ حسگرهای بر پایه پلیمرهای رسانا

پلیمرهای رسانا دسته‌ای از پلیمرها هستند با خواص رسانایی همچون یک شبه فلز که غالباً در طی یک فرایند اکسیداسیون و احیا می‌توانند به شکل رسانا تبدیل شوند. این پلیمرها البته دارای رسانایی کمتری نسبت به فلزات هستند. با اکتشاف پلیمرهای رسانا در سال ۱۹۶۰، به علت خواص جالب و کاربردهای فراوان این پلیمرها، زمینه‌های جدیدی برای تحقیق در مورد این پلیمرها آغاز شد. این دسته از پلیمرها در بسیاری از زمینه‌ها همانند کاربردهای الکتریکی، الکترونیکی، الکترومکانیکی، الکتروشیمیایی، الکترومغناطیسی، ترموالکتریک، الکترورئولوژی، غشاء‌ها و حسگرهای مورد استفاده قرار می‌گیرند (Bhadra, et al. 2009). پلی‌پیروول اولین پلیمر رسانا بوده که در زمینه‌های کاربردی به عنوان حسگر مورد استفاده قرار گرفت، ولی در آن زمان این پلیمر به علت حساسیت کم و زمان پاسخگویی بالا، مورد استقبال قرار نگرفت. در جدول (۱-۱) می‌توان مقایسه‌ای بین انواع پلیمرهای رسانا را مشاهده کرد (Debarnot and Epaillard 2003).

جدول ۱-۱ مقایسه‌ی خواص چند پلیمر رسانا (Debarnot and Epaillard 2003)

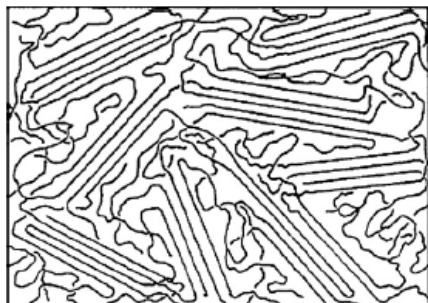
پلیمر رسانا	رسانش (S/cm)	پایداری شیمیایی	فرایندپذیری	ساختار
پلی-استیلن	$10^5 - 10^3$	ضعیف	محدود	
پلی-فنیلن	۱۰۰۰	ضعیف	محدود	
پلی (فنیلن وینیلن)	۱۰۰۰	ضعیف	محدود	
پلی (فنیلن-سولفید)	۱۰۰	ضعیف	عالی	
پلی-پیروول	۱۰۰	خوب	خوب	
پلی-تیوفن	۱۰۰	خوب	عالی	
پلیآنیلین	۱۰	خوب	خوب	

با وجود خواص ویژه‌ی پلیمرهای رسانا، بسیاری از کاربردهای این پلیمرها به علت وجود مواد بسیار مانند پایداری حرارتی و محیطی کم و فرایندپذیری پایین نسبت به رساناهای فلزی نیاز به بررسی‌های بیشتر و غلبه بر این مواد دارد. از بین پلیمرهای رسانا، پلی‌آنیلین به علت بازه‌ی بالای تغییرات رسانش بین حالت‌های رسانا و نارسانا (تغییرات رسانش در پلی‌آنیلین گستره‌ی وسیعی را شامل می‌شود)، خاصیت اکسیداسیون و احیای ویژه‌ی خود، پایداری محیطی و حرارتی خوب، قیمت ارزان، روش‌های متعدد و آسان سنتر بسیار مورد توجه بوده است . (Zhang and Wang 2006)

مشکل اساسی در مورد تمامی پلیمرها و پلی‌آنیلین پایین بودن سطح رسانش در آن‌ها نسبت به فلزات و پایداری نسبتاً کم در حلال‌های مختلف است که باعث محدودیت استفاده از این پلیمرها می‌شود (Chiou and Epstein, 2005, Bhadra, et al. 2009)

## ۵-۱ معرفی پلی‌آنیلین

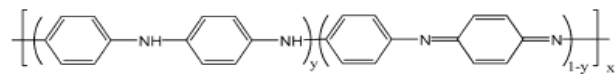
پلی‌آنیلین پلیمری نیمه رسانا است که از مجموعه‌ای غیر همگن از بلورها در بین مناطق آمورف تشکیل شده است. در شکل ۳-۱ بلورها را می‌توان به عنوان مناطق فلزی و قسمت آمورف را به عنوان نافلز در نظر گرفت .(Bhadra, et al. 2009, Debarnot and Epaillard 2003)



شکل ۳-۱ شماتیک از ساختار نیمه بلوری پلی‌آنیلین (Bhadra, et al. 2009)

پلی‌آنیلین به علت خواص ویژه‌ی اکسیداسیون-احیای خود دارای خواصی منحصر به فرد در شناسایی و حسگری دارد. این پلیمر بسته به میزان درجه اکسیداسیون دارای ساختارهای متفاوتی است. مطابق شکل (۴-۱) مشاهده می‌شود که در شاخه‌های پلی‌آنیلینی حلقه‌های بتزنی به وسیله‌ی نیتروژن به هم متصل شده‌اند. این نیتروژن‌ها به دو دسته تقسیم می‌شوند، در دسته‌ی اول نیتروژن‌هایی با پیوند یگانه به حلقه‌ی بتزنی موجود است که

یک هیدروژن متصل به آن نیز مشاهده می‌شود (آمین‌ها)، این نیتروژن‌ها احیا شده بوده و به عنوان حفره‌های<sup>۱</sup> بار از آن‌ها یاد می‌شود، دسته‌ی دوم نیتروژن، نیتروژن‌هایی با پیوند دوگانه به حلقه‌ی کینونی هستند (ایمین‌ها) که اکسید شده‌اند و منابعی از بار الکتریکی به حساب می‌آیند (Debarnot and Epaillard 2003). مطابق با جدول ۲-۱ با تغییر مقدار  $y$  از ۰ تا ۱ میزان اکسیداسیون در این پلیمر تغییر کرده و در نتیجه رسانش نیز تغییر می‌کند با اکسید شدن بیشتر نمونه مقدار  $y$  کمتر می‌شود و حالت‌های مختلفی از پلی‌آنیلین با درجه اکسیداسیون (Debarnot and Epaillard 2003, Bhadra, et al. 2009, Hosseini, Oskooei and Entezami 2005, Huang, 2006)



شکل ۱-۴ ساختار مولکولی پلی‌آنیلین (Debarnot and Epaillard 2003).

از بین تمامی شکل‌های پلی‌آنیلین، این پلیمر تنها در شکل ایم‌آلدین بازی<sup>۲</sup> (EB) است که قابلیت رسانایی دارد در این حالت ۰.۵٪ اکسیداسیون داریم و حداکثر میزان رسانش برای پلی‌آنیلین ایجاد می‌شود, (Huang, 2006, Debarnot and Epaillard 2003, Bhadra, et al. 2009)

جدول ۲-۱ شکل‌های مختلف پلی‌آنیلین با درجات اکسیداسیون متفاوت (Debarnot and Epaillard 2003)

رسانش S/cm	رنگ	نماد	نام	* مقدار $y$
$10^{-5}$	شفاف	LB	پلی‌لیوکومرالدین بازی <sup>۳</sup>	۱
$10^{-5}$	ارغوانی	PB	پلی‌پرینگرآنیلین <sup>۴</sup>	۰
$10^{-5}$	آبی	EB	پلی‌امرالدین بازی	۰/۵
۱۵	سبز	ES	پلی‌امرالدین نمکی <sup>۵</sup>	

\* مقدار  $y$  کسر مولی واحد ساختاری در شکل ۱-۴ است

<sup>۱</sup>Holes

<sup>۲</sup>Polyemeraldine base

<sup>۳</sup>Polyleucoemeraldine base

<sup>۴</sup>Polypernigraniline base

<sup>۵</sup>Polyemeraldine salt